

AUTHORS: Koreneva LG, Ga'iduk VI:

DATE: 1970

TITLE: (Principal mechanism of the resonance effect of ultrahigh frequencies on hemoglobin).

SOURCE: Dokl Akad Nauk SSSR 193(2):465-8

MAIN SUBJECT HEADING:

AN	HU	AT	IH	M
ANALYTICS	HUMAN EFFECTS	ANIMAL TOXICITY	WORKPLACE PRACTICES-ENGINEERING CONTROLS	MISCELLANEOUS

SECONDARY SUBJECT HEADINGS: AN HU AT IH M

Physical/Chemical Properties Sampling/Analytical Methods

Review Reported Ambient Levels

Animal Toxicology Measured Methods

Non-occupational Human Exposure Work Practices

Occupational Exposure Engineering Controls

Epidemiology Biological Monitoring

Standards Methods of Analysis

Manufacturing Treatment

Uses Transportation/Handling/
Storage/Labelling

Reactions

*not transl
RFC*

MR 2392

Доклады Академии наук СССР
1970. Том 193, № 2

днем выражении положим $U(x_1) = x_2 = x_{\max}$. В этом случае (8) пере-

$$\frac{\tau}{k} \ln \frac{I_{\max}}{I}. \quad (9)$$

соотношения (8) и (9) не будут противоречить для объектов «бесконечных» разнотипов (предел нашего рассмотрения). Объекта «конечного» размера клетки (8) и (9) будут справедливы единственно для экспериментов проведено на

Поступило
27 V 1969

АЛЛЕГРАТУРА

1. 12, 412 (1959). 2. А. В. Котова, Сборн. Киев, 1966, стр. 27. 3. М. Л. Быховский, 2, 529 (1967). 4. E. J. Williams, R. J. 1 (1964).

УДК 591.111.2

БИОФИЗИКА

Л. Г. КОРЕНЕВА, В. И. ГАНДУК

О ПРИНЦИПИАЛЬНОЙ ВОЗМОЖНОСТИ РЕЗОНАНСНОГО ВОЗДЕЙСТВИЯ СВЕРХВЫСОКОЧАСТОТНЫХ КОЛЕБАНИЙ НА ГЕМОГЛОБИН

(Представлено академиком Н. Д. Девятковым 25 VII 1969)

В настоящее время достаточно надежно установлено, что пока еще не объяснен экспериментальный факт резонансного воздействия сверхвысокочастотных колебаний на некоторые биологические объекты (2, 3). Резонансность воздействия заключается в том, что облучение одной длиной волны приводит к совершенно другому результату, чем действие другой, достаточно близкой к ней длины волны ($(\lambda_2 - \lambda_1) / \lambda_1 \ll 1$). Большой группой исследователей изучается воздействие с.в.ч. на гемоглобин (1, 3), причем наиболее подробно — на связь гем — белок в гемоглобине. В этом случае, по-видимому, также имеется резонансное воздействие в области длии волны порядка 7 мм. В настоящем сообщении предлагается возможный механизм этого эффекта. Разрыв ковалентных или водородных связей в данном случае: вряд ли возможен, так как энергия кванта $h\nu \approx 10^{-4}$ эв $\ll kT$ (при $T \approx 300^\circ\text{K}$). Электромагнитные волны этого диапазона могут, вероятно, усиливать тепловые флуктуации молекул белка, воздействуя на слабые связи типа тех, которые образуются при контакте неполярных групп, и изменения тем самым конформацию и биологическую функцию молекул. Этот механизм вряд ли может быть резонансным.

Можно ожидать, однако, что при воздействии излучением с частотой, близкой к собственной частоте вращений или либраций какой-либо дипольной группы, можно избирательно «нагревать» именно эту группу; если последняя находится в активном центре фермента, то даже небольшая раскачка ее может сильно повлиять на структуру активного центра. Подобный резонанс воздействия в принципе осуществим, если, являясь единственной в активном центре, резонирующая группа играет активную роль для сохранения патиновой структуры и функции, имеет большой дипольный момент и достаточную свободу перемещения.

Общая картина размещения цепей вокруг гема, получаемая из рентгеноструктурного анализа (4) (см. рис. 1), показывает, что вблизи гема имеются два остатка гистидила (F8 и E7). Гис F8 завязывает, как известно, координационную связь с железом гема, что и является главной энергетической связью гем — белок. Кроме этой связи гем имеет около 60 водородных контактов с другими остатками аминокислот (все они указаны для β-цепи на рис. 2). Видно, что почти все эти контакты полярны (в основном это лейцил, валил и фенилаланин). Единственной неполярной молекулой вблизи гема, не завязывающей, по-видимому, ни водородных, ни ковалентных связей с гемом, является гис E7*. Присутствие

* В активном центре гемоглобина есть еще следующие полярные молекулы: аргинин, сера CD3 и сам гем. Первые два прикреплены водородными связями к пропионовым остаткам гема и лишены свободы перемещения относительно него. Сам же гем, по-видимому, жестко зажат боковыми цепями и не может легко перемещаться. Кроме того, его дипольность относительно невелика, а собственные частоты должны лежать далеко в сантиметровой области. Нам кажется, что резонансное воздействие на гем в принципе возможно, но для него нужны другие частоты.

последнего вблизи гема необходимо для функции, поскольку все мутации приводящие к его замене, оказываются фатальными для функции молекулы. Считается, что гис E7 нужен для предотвращения окисления железа, потому должен быть расположен достаточно близко к гему (при этом должно оставаться место и для кислорода). Это наводит на мысль о том, что гис E7 имеет определенную свободу перемещения. Для проверки была

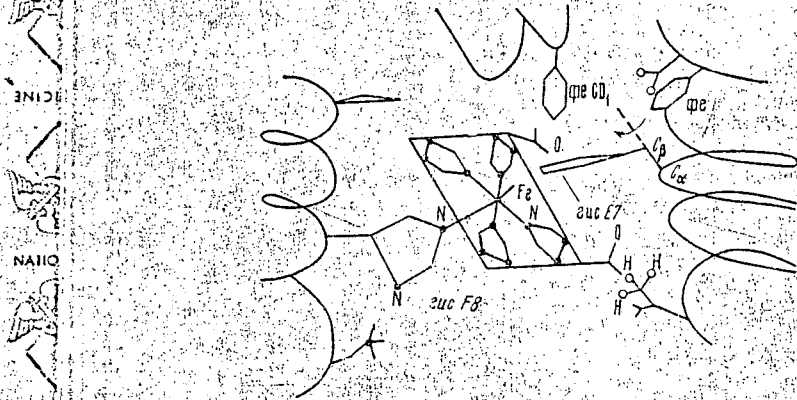


Рис. 1. Структура ближайшего окружения гема в цепи гемоглобина. Стрелки справа и слева отмечают положение гис F8 и гис E7. (Из [3]).

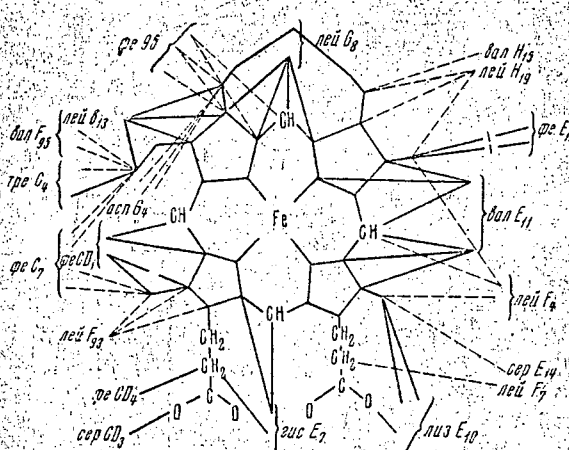


Рис. 2. Полная схема контактов гема в гемоглобине. Стрелками отмечено положение полярных остатков гис E7, гис F8, сер CD3, лиз E10. (Из (2)).

вую на молекулы с завершившимися связями, либо на молекулы, которые не имеют таковых. Частоты собственных колебаний гис Е7 в этих двух случаях, по-видимому, должны несколько различаться из-за названных дополнительных связей.

Оценка частоты возможного резонансного воздействия на гистид былана проведена из расчета энергии ΔE вращательного перехода для эн-

* Заметим, что выдвигалась гипотеза (8), что в оксигемоглобине существует связь азота гистидина с железом гема через кислород. Правда, реиентго-структурный анализ не показал этой связи (4), но она может временно образовываться и распадаться в некоторой части молекул и обеспечивать некоторый сдвиг равновесия реакции $\text{Hb} \rightleftharpoons \text{гем} + \text{глобин}$ влево для оксигемоглобина (10) по сравнению с метгемоглобином.

построена пространственная модель окружения гема по данным (4, 5), показавшая, что эта группа может поворачиваться вокруг оси $C_\alpha - C_\beta$ почти на 180° (при мерно на 150°) и имеет свободу вращения вокруг связи $C_\beta - C_y$. При этих поворотах гис Е7 может очень близко приближаться к железу гема и к проционовым группам. Возможно, что при этом заявляются слабые связи типа ионных*.

Таким образом, для группы гис Е7 выполняются перечисленные выше условия, при которых может реализоваться воздействие с.в.ч.-колебаний; пространственное перемещение этой группы может влиять на связь гем—белок. Эти перемещения осуществляются и сами по себе (в результате тепловых флюктуаций) и могут приводить к разрыву или завязыванию слабых связей типа $\text{Fe}-\text{O}-\text{O}-\text{N}$. Согласно нашему предположению с.в.ч.-поле, резонансно раскачивая гистидиновый а

капилляризационный с-
таток, сдвигает установившееся динамическое равновесие в ту или иную сто-
рону благодаря воздей-
вию на молекулы с зарядами не имеют таковых. Ч-
к двух случаях, по-видим

лекулы как для свободного ротора типа симметричного волчка:

$$\Delta E = 2B(j+1), \quad B = \frac{\hbar^2}{2I} \quad (j = 1, 2, 3, \dots). \quad (4)$$

еся момент инерции I рассчитывался относительно оси $C_\alpha - C_\beta$, вокруг которой возможно вращение ($I \approx 10^{-37}$ г·см 2 ; параметры молекулы, принятые для расчета, показаны на рис. 3). Переход, имеющий максимальную тенсивность при заданной температуре T , в условиях термодинамического равновесия определялся по формуле

$$j_{\text{опт}} = \text{целая часть от } \sqrt{\frac{kT}{2B}},$$

$$\lambda_{\text{опт}} = 10^{18} \sqrt{I} \text{ см.} \quad (2)$$

нашем случае $j_{\text{опт}} \simeq 70$ и $\lambda_{\text{опт}} = 3,5$ мм. Таким образом, расчет дает величину того же порядка, что и в эксперименте ($\lambda \simeq 7$ мм). Некоторое различие можно объяснить тем, что гис не является строго симметричным ротором, для которого верна формула (1), воспользоваться ею для переходов в асимметричном роторе затруднительно, так как вращение вокруг других осей невозможно. Удивительно также рассчитать заторможенные азимуты, так как форма и глубина потенциальной ямы неизвестны. Далее, в силу

тических соображений рассматриваемая молекула является, вообще говоря, ротатором с ограничениями, наложенными на допустимые углы поворота. Подобная задача (для модели линейной двухатомной молекулы) была решена Аммерфельдом и Хартманом⁽⁹⁾. Ими показано, что хотя энергия переходов в целом возрастает (это легко предвидеть из качественных соображений: при введении отражающих стенок частота осцилляций должна возрасти), уровни расщепляются на несколько подуровней энергии, числовых которых возрастает с номером j в (1). При этом величина расщепления зависит от наложенного на углы ограничения (см. рис. 4). Хотя правила бора для переходов в⁽⁹⁾ не были выяснены, весьма вероятна возможность понижения резонансной частоты за счет переходов между расщепленными уровнями. Наконец, оптимальный уровень энергии (пациболее заиенный) может характеризоваться меньшим номером j , чем $j_{\text{опт}}$ в (2), поскольку термодинамическое равновесие в системе гис E7 + окружающая среда может не успевать устанавливаться из-за того, что «полость», в которой колеблется молекула гис E7, трудно доступна для молекул среды; связь с окружающими стенками может быть достаточно слабой. Это обстоятельство также приведет к понижению частоты резонансного перехода, несмотря на все отличия рассматриваемой группы от свободного симметричного ротора, порядок величины резонансной частоты для такой большой группы должен даваться формулой (1).

Была сделана также оценка энергии, которую может передать с.в.п. на ротор при оптимальных условиях и необходимого для этого времени взаимодействия $t_{\text{опт}}$ ротора с полем.

Эта задача сводилась к укороченным уравнениям для медленно изменяющихся (при резонансе) величин: энергии, приобретаемой диполем с моментом μ , и относительной фазы $\Theta = \omega t - \theta$ (θ — текущий угол ротатораносительно выбранного начала отсчета). Подобная задача решалась в работах ^(7, 8), на основе метода усреднения пелинейных уравнений ⁽⁷⁾ применительно к врачающимся электронным потокам в поле с.в.п. ⁽⁸⁾ ам-

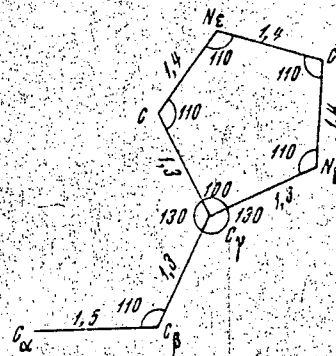


Рис. 3. Конфигурация гистидина, принятая при расчете момента инерции в формуле (1).

плитуды E_0 . Окончательные оценки (выкладки опускаем) дают для максимального приращения энергии (к.п.д. η) величину порядка $4(\mu E / I_0)^2$, что при $\lambda \approx 0,3$ см ($\omega = 2\pi c / \lambda$) и мощности излучения порядка десятков мегаватт дает η порядка нескольких процентов. (Заметим, что в модели ограниченного ротора движение молекулы будет приближаться к квази-периодическим колебаниям в поле с.в.ч., и по аналогии с расчетами, проведенными в (8), можно ожидать (при резонансе) увеличения к.п.д.

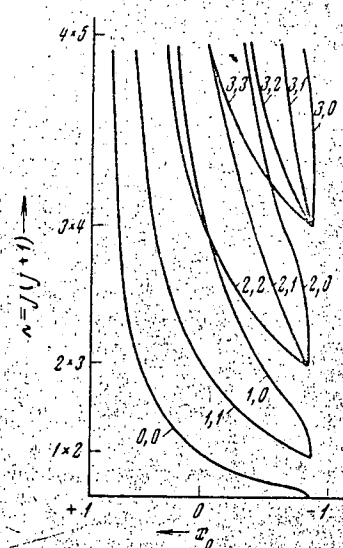


Рис. 4. Схема уровней ротора с ограниченной свободой вращения, $0 \leq \theta \leq \theta_0$, $x = \cos \theta_0$. Энергетические термы характеризуются обычной формулой $E = BJ(J+1)$, где J в данном случае не целое, $J = J(x)$: Первая цифра указывает номер основного, вторая — номер расщепления уровня. (Из (7))

такие связи образовались. На других, близких частотах возможен преимущественный разрыв некоторых слабых связей, образовавшихся при том же пространственном перемещении гис Е, что приведет к ослаблению связи гем — белок.

Авторы признательны М. В. Волькенштейну, В. П. Комову и В. И. Иванову за полезное обсуждение работы.

Институт радиотехники и электроники
Академии наук СССР
Москва

Поступило
23.VII.1963

ЦИТИРОВАННАЯ ЛИТЕРАТУРА

- ¹ В. Е. Манойлов, С. Е. Манойлов и др., Сборн. "Ферменты в экспериментальной и клинической онкологии и радиобиологии", Тр. Ленинградск. химико-фармацевтич. инст., в. 20, ч. 1, Л., 1967, стр. 78. ² В. Г. Адаменко, Р. Виленская и др., Электронная техника, сер. I, Электроника СВЧ, в. 12, 1966, стр. 132. ³ М. Б. Голдагт, В. Г. Адаменко, Р. Л. Виленская, Тез. докл. IV Межвузовск. конфер. по электронике СВЧ, Минск, 1969, стр. 316. ⁴ M. F. Regeutz et al., Nature, 219, № 5150, 131 (1968). ⁵ M. F. Regeutz, H. Zehmann, Nature, 219, № 5157, 902 (1968). ⁶ L. Pauling, Nature, 203, 182 (1964). ⁷ В. И. Гайдук, ДАН, 133, № 4, 760 (1960). ⁸ В. И. Гайдук, В сборн. "Приближенные методы решения дифференциальных уравнений", Киев, 1964, стр. 33. ⁹ A. Sommerfeld, H. Hartmann, Ann. der Phys., 37, 333 (1940). ¹⁰ В. П. Комов, Автореф. крат диссертации, 1965.

Доклады Академии наук СССР

УДК 577.3

А. П. КОСТИКОВ З. П. ГЕ

ПРИМЕНЕНИЕ МЕТОДА ПРИ ИССЛЕДОВАНИИ ЭПР ПОРФИРИЯ

(Представлено академиком

Было показано (1-3), что электрон хаотически ориентированных молекул ие неполяризованным светом, опцы

$$\mathcal{H} = g\beta HS - \{XS$$

где $\mathbf{g} \approx \mathbf{g}_e = 2,0023$, a — магнетон Бора, S_x, S_y, S_z — компоненты суммарного вектора спинов атомов, X, Y, Z — координаты в сферической системе координат, $X = Y = Z$ — взаимодействия. Для случая $X \neq Y \neq Z$ канонических пиков ($H_{x''}, H_{y''}, H_{z''}$) и изолированный магнитного поля (переходы между уровнями $\Delta m = \pm 2$) $H_r // H_{\text{внеш}}$ и пиков $H_{x''}$. Основной вклад в канонические пики вносит спинорбитальный тензор спина-спинового взаимодействия, направленный вдоль направления вращения магнитного поля. Наблюдаемый спектр э.п.р. явл. поглощения тремя квазиизомерами, селектированными молекул, другие орбиты в поглощении.

Таким образом, при наложении по-
ту хаотически ориентированных мол-
екул отбор молекул по каноническим
Можно использовать также еще один
ионно-⁽⁴⁾, в комплексе с магнитоселекцией
пределять направление моментов перв-
ие относительно главных осей тензора
При этом ориентацию главных осей
осей можно однозначно определить из

Впервые возможность применения изученного выше метода определения спектральных линий спектра э.п.р. триплетного состояния хромофорных групп в молекулах можно было однозначно определить из следующих экспериментальных данных. Проведенное исследование триплетного состояния хромофорных групп в молекулах показала, что теоретически Котти и др. предсказали, что при переходе из триплетного состояния в синглетное состояние спектральные линии спектра э.п.р. триплетного состояния исходили из следующих промежуточных состояний: 1) синглетного состояния симметрией, такой, чтобы в результате взаимодействия совпадали соответствующие спектральные линии; 2) поляризованный синглетного состояния (T') или посредством перехода из синглетного состояния в синглетное состояние симметрией (S_0), если использовать мощным и последующей интерконверсией ($S_0 \xrightarrow{h\nu_2} T'$), если пользоваться мощным и